

ANÁLISIS Y SÍNTESIS DE CIRCUITOS DE MICROONDAS



departamento
de
comunicaciones



UNIVERSIDAD
POLITECNICA
DE VALENCIA

El Método de la Adaptación Modal (The Mode-Matching Method I)

Análisis y Síntesis de Circuitos de Microondas

Dr. Vicente E. Boria Esbert

Curso 2006/2007

Contenidos

- * Introducción
 - Descripción General, Aplicaciones Prácticas
- * Formulación del Método
 - El Problema de la Convergencia Relativa
- * Ejemplos de Aplicación
 - Salto entre 2 Guías Rectangulares
 - Bifurcación de una Guía en Plano H
- * Prestaciones del Método
- * Resultados

Introducción

• Métodos de Análisis de Dispositivos en Guía.-

– Técnicas Modales (Analíticas).-

- Adaptación Modal (MM), Matrices de Inmitancias (GAM, GIM)
- Muy eficientes para dispositivos simples (geometrías regulares)

– Métodos de Discretización (Numéricos).-

- Elementos Finitos (FEM), Elementos de Contorno (BE), FD, FDTD
- Estructuras más complejas, ↑↑ tiempos de CPU y ↑↑ memoria

– Métodos Híbridos.-

- MM/FE, Adaptación Modal + Elementos de Contorno (BCMM)
- Eficientes (métodos modales) y versátiles (métodos numéricos)

- Adecuado para tecnología en guías
- No adecuado para tecnología planar
- Requieren un esfuerzo analítico previo

segmenta la estructura para aplicar ambos métodos

Análisis y Síntesis de Circuitos de Microondas

Introducción

• Comparativa entre Técnicas de Análisis.-

MÉTODO	GENER.	MEM.	T ^º CPU	PREPR.	ESTRUCTURAS
FDM	█ █ █	↑↑	↑↑	-	Todas
FEM	█ █ █	↑↑	↑	↓↓	Todas
TLM	██	↑↑	↑↑	↓	Cavidad microstrip. Simulación propagación.
IE	█	↓↓	↓↓	↑↑	Resonador microstrip.
MoM	█	↔	↔	↔	Acople y radiación en etos. y antenas impresas.
TRT	█	↓↓	↓↓	↔	Guías dieléctricas y ranuradas. Discont. en guías planares.
MoL	█	↓↓	↓↓	↑↑	Estruct. planares multicapa. Cto. impreso.
SD	█	↓↓	↓↓	↑↑	Líneas de cto. impreso. Resonadores microstrip.
FDTD	█ █ █	↓↓	↑↑	↑↑	Todas. Poderosa para simulación de campo en 3D.
MM	█ █	↔	↑↑	↓	Discont. entre regiones con soluciones bien definidas.

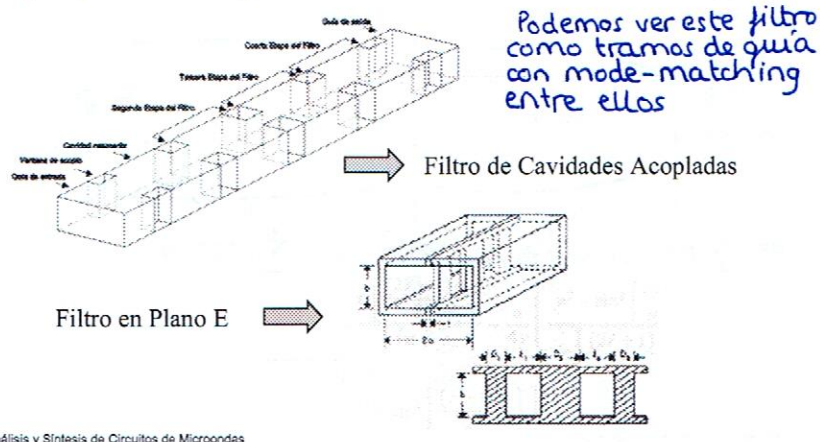
Análisis y Síntesis de Circuitos de Microondas

Integral
Equation
Method of Moments

Method of
Lines

Introducción

- Ejemplos de Dispositivos Pasivos de Microondas (I):



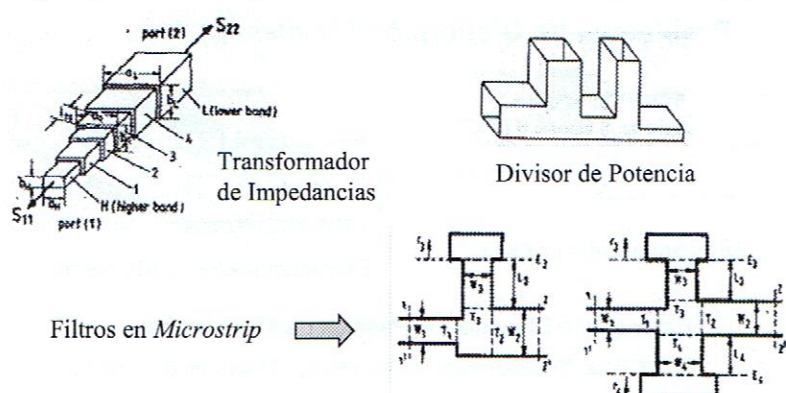
Análisis y Síntesis de Circuitos de Microondas

$$\frac{S_{11}}{S_{22}} = \frac{1}{2}$$

admitencia
(admittance)

Introducción

- Ejemplos de Dispositivos Pasivos de Microondas (II):



Análisis y Síntesis de Circuitos de Microondas

Introducción

- Descripción General del Método.-

$$\vec{E}_t^a = \sum_{i=1}^{\infty} V_i^a \vec{e}^a \quad \vec{H}_t^a = \sum_{i=1}^{\infty} V_i^a \vec{h}^a$$

Unión

$$\vec{E}_t^b = \sum_{i=1}^{\infty} V_i^b \vec{e}^b \quad \vec{H}_t^b = \sum_{i=1}^{\infty} V_i^b \vec{h}^b$$

$$\left. \begin{array}{l} \vec{E}_t^a = \vec{E}_t^b \\ \vec{H}_t^a = \vec{H}_t^b \end{array} \right\} \longrightarrow V_i^a, V_i^b$$

Análisis y Síntesis de Circuitos de Microondas

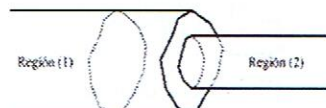
$$\vec{E}_t^a = \sum_i V_i^a \cdot \underbrace{\vec{e}^a}_{\substack{\text{modos} \\ \downarrow \\ \text{coeficientes} \\ (\text{incógnitas})}}$$

Notar que, lógicamente, el coeficiente de un modo V_i aparece igual en \vec{E} y en \vec{H} (multiplicando a la \vec{E} y \vec{H} correspondiente del modo)

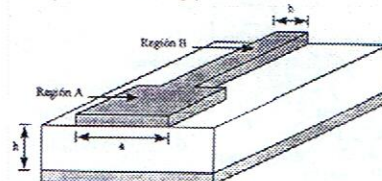
Introducción

- Aplicaciones del Método (I).-

- Problemas de Dispersión (Scattering)



Discontinuidades en Guía



Discontinuidades en Microstrip

- Extensión a Dispositivos Pasivos de Microondas:

- Filtros, Transformadores de Imped., Divisores de Potencia

Análisis y Síntesis de Circuitos de Microondas

Introducción

- Aplicaciones del Método (II).-

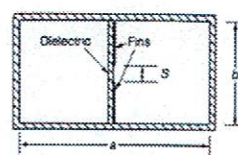
- Problemas de Autovalores

- Frecuencias de Resonancia de Cavidades
 - Frecuencias de Corte de Guías
 - Constantes de Propagación de Líneas de Tx. Planares:
 - Líneas Microstrip y Finline

⇒ Búsqueda de Ceros del

Determinante de una Matriz:

↓ Precisión, ↑ Tiempo de CPU



Análisis y Síntesis de Circuitos de Microondas

Formulación

- Discontinuidad entre Guías.-

a: soluciones modales:

$$\vec{E}_t^a = \sum_{n=1}^{\infty} (a_n^+ + a_n^-) \vec{e}_n^a$$

Guía a

$$\vec{H}_t^a = \sum_{n=1}^{\infty} (a_n^+ - a_n^-) \vec{h}_n^a$$

sección transv.

b: soluciones modales

$$\vec{E}_t^b = \sum_{n=1}^{\infty} (b_n^+ + b_n^-) \vec{e}_n^b$$

Guía b

$$\vec{H}_t^b = \sum_{n=1}^{\infty} (b_n^+ - b_n^-) \vec{h}_n^b$$

pointing

Propiedad de Ortogonalidad $\Rightarrow P_{mn}^a = \int_{S_a} (\vec{e}_n^a \times \bar{h}_m^a) \cdot \hat{z} ds \Rightarrow P_{mn}^a = K_{mn} \delta_{mn}$

Análisis y Síntesis de Circuitos de Microondas

campo eléctrico de un modo

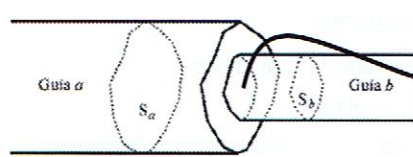
campo magnético de otro modo

delta de Kronecker
la integral sólo tiene sentido cuando el campo eléctrico y magnético se refieren al mismo modo

- Cada modo transmite su potencia
- Los modos están desacoplados

Formulación

- Condiciones de continuidad.-



$$\begin{cases} \bar{E}_t^a = \begin{cases} \bar{E}_t^b & \text{en } S_b \\ 0 & \text{en } S_a - S_b \end{cases} \\ \bar{H}_t^a = \bar{H}_t^b & \text{en } S_b \end{cases}$$

Utilizando las expansiones modales anteriores:

$$\sum_{n=1}^{\infty} (a_n^+ + a_n^-) \bar{e}_n^a = \begin{cases} \sum_{n=1}^{\infty} (b_n^+ + b_n^-) \bar{e}_n^b & \text{en } S_b \\ 0 & \text{en } S_a - S_b \end{cases} \quad \left. \begin{array}{l} \text{ec. campo eléctrico} \\ \text{ec. campo magnético} \end{array} \right\}$$

$$\sum_{n=1}^{\infty} (a_n^+ - a_n^-) \bar{h}_n^a = \sum_{n=1}^{\infty} (b_n^+ - b_n^-) \bar{h}_n^b \quad \left. \begin{array}{l} \text{en } S_b \\ \text{en } S_a - S_b \end{array} \right\}$$

Análisis y Síntesis de Circuitos de Microondas

continuidad del campo \bar{E} y \bar{H} tangenciales

\bar{E}_t se anula en el metal (no sabemos lo que le pasa a \bar{H})

salen ① y ②

salen ③ y ④

sistema de ecs. vectoriales

nos deshacemos de los vectores utilizando la ortogonalidad

- multiplicar vectorialmente a ambos lados por \bar{h}_n^{a*} (1)
- integrar en S_a

para la ec. del campo eléctrico

para la ec. del campo magnético se multiplica a ambos lados por el campo eléctrico PERO luego no se integra la guía grande (ya que en la parte de metal no sabemos nada)

sino en la guía pequeña; por tanto los coeficientes no son coeficientes de ortogonalidad P_{mn} sino que salen coeficientes que son integrales: C

Formulación

- Ecuaciones Lineales.-

Utilizando la propiedad de ortogonalidad de los modos:

$$\sum_{n=1}^{\infty} P_{mn}^a (a_n^+ + a_n^-) = \sum_{n=1}^{\infty} A_{mn} (b_n^+ + b_n^-) \quad m = 1, 2, \dots, \infty \quad (1)$$

$$\sum_{n=1}^{\infty} B_{mn} (a_n^+ + a_n^-) = \sum_{n=1}^{\infty} P_{mn}^b (b_n^+ + b_n^-) \quad m = 1, 2, \dots, \infty \quad (2)$$

$$\sum_{n=1}^{\infty} C_{nm}^* (a_n^+ - a_n^-) = \sum_{n=1}^{\infty} B_{nm}^* (b_n^+ - b_n^-) \quad m = 1, 2, \dots, \infty \quad (3)$$

$$\sum_{n=1}^{\infty} A_{nm}^* (a_n^+ - a_n^-) = \sum_{n=1}^{\infty} P_{nm}^b (b_n^+ - b_n^-) \quad m = 1, 2, \dots, \infty \quad (4)$$

siendo:

$$A_{mn} = \int_{S_b} (\bar{e}_n^b \times \bar{h}_m^a) \cdot \hat{z} ds \quad B_{mn} = \int_{S_b} (\bar{e}_n^a \times \bar{h}_m^b) \cdot \hat{z} ds \quad C_{mn} = \int_{S_b} (\bar{e}_n^a \times \bar{h}_m^a) \cdot \hat{z} ds$$

Análisis y Síntesis de Circuitos de Microondas

Cada una de estas 4 ecuaciones se hace para $m = 1, 2, 3, \dots, \infty$

Es decir, para cada modo

pero por ejemplo $P_{mn} = 0$ si $m \neq n$

C_{nm}^*

no se integran en la guía grande sino en la pequeña (ignoran datos del modo) por eso no aparece P_{nm}^a

Formulación

- **Expresión Matricial de las Ecuaciones.-**

- Las ecuaciones se pueden expresar **matricialmente**:

$$P^a(a^+ + a^-) = A(b^+ + b^-) \quad B(a^+ + a^-) = P^b(b^+ + b^-)$$

$$C^\#(a^+ - a^-) = B^\#(b^+ - b^-) \quad A^\#(a^+ - a^-) = P^{b\#}(b^+ - b^-)$$

$$a^+ = (a_1^+, a_2^+, \dots, a_\infty^+)^t \quad b^+ = (b_1^+, b_2^+, \dots, b_\infty^+)^t$$

introducción a la formulación
aproximación de los resultados

A : matriz con elementos A_{mn}

B : matriz con elementos B_{mn}

C : matriz con elementos C_{mn}

$P^i (i=a,b)$: matriz con elementos P_{mn}^i

$$A^\# = (A')^*$$

Análisis y Síntesis de Circuitos de Microondas

Formulación

- **El Problema de la Convergencia Relativa.-**

- La Adaptación Modal expande los campos en **sistemas infinitos**:

- La solución del sistema requiere **truncar** dichas series

- Las series infinitas se pueden **truncar si son convergentes**:

- Resultados no varían al aumentar el número de términos

- En Adaptación modal se deben truncar 2 o más series a la vez

↳ CONVERGENCIA RELATIVA (resultados varían)

- La convergencia relativa está **relacionada con**:

- Distribuciones de campos a ambos lados de la discontinuidad

- Mal condicionamiento del sistema de ecuaciones lineales

Análisis y Síntesis de Circuitos de Microondas

ese es el sistema matemático

no sólo hay que poder truncar cada serie para que converga las series están IGUALÁNDOSE entre ellas; por tanto ambas deben converger al MISMO valor

- a mayor número de modos que consideremos, mayor es la resolución espacial que se logra con su combinación lineal.
- Intuitivamente, los modos de la guía pequeña tendrán más resolución que los de la guía grande

Formulación

- Criterio General de Convergencia.-

Diversos estudios demuestran que la **convergencia**:

- Depende del **número de modos** considerados en cada guía
 - * Se alcanza con una **relación óptima** entre los números de modos
 - * La **relación óptima** depende de las **dimensiones** de las guías

- **La relación óptima es la que supone igual resolución espacial a ambos lados de la unión:**

- Escoger modos cuya $f_c <$ valor determinado *coger los modos hasta una cierta frecuencia de corte*
 - Considerar también la variación de las variables transversales en y a cada lado de la unión

Análisis y Síntesis de Circuitos de Microondas

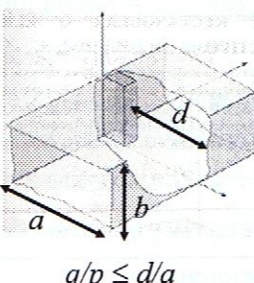
Los modos de la guía pequeña tienen intuitivamente más resolución que los de la guía grande, por tanto hace falta considerar menos modos en la guía pequeña para alcanzar una determinada resolución

Considerar sólo los modos que puedan excitarse

Formulación

- Casos Particulares de Convergencia (I).-

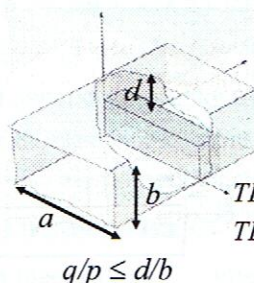
Ventana Inductiva



TE_{10}^z
 $TE_{p0}^z(a, b)$
 $TE_{q0}^z(d, b)$

$$q/p \leq d/a$$

Ventana Capacitiva



TE_{10}^z
 $TE_{1p}^z, TM_{1p}^z(a, b)$
 $TE_{1q}^z, TM_{1q}^z(a, d)$

$$q/p \leq d/b$$

- ... $q \uparrow$ para convergencia → óptima si $q/p = d/a$ ($q/p = d/b$)
- ... convergencia más lenta si $q/p < d/a$ ($q/p < d/b$)

Análisis y Síntesis de Circuitos de Microondas

q : n.º de modos en la serie de la guía pequeña

p : n.º de modos en la serie de la guía grande

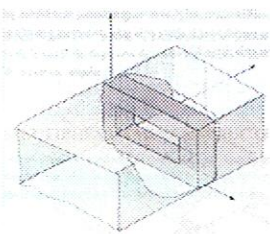
$$\text{convergencia} \leftrightarrow \frac{N_{\text{peq}}}{N_{\text{grande}}} \leq \frac{d_{\text{peq}}}{d_{\text{grande}}} \uparrow \text{idealmente} = 1$$

Si q/p es MENOR que el óptimo hay convergencia pero no tan rápida
si q/p es MAYOR (incluso ligeramente) al óptimo, no voy a converger nunca por muchos modos que coja

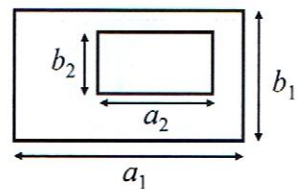
Recuerda:
 q de pequeña
 p de grande
porq. debería
llamarse q
de grande

Formulación

- Casos Particulares de Convergencia (III).-



Iris
Rectangular



$$TE_{10}^z \Rightarrow \begin{cases} TE_{pq}^z, TM_{pq}^z (p \leq P_1, q \leq Q_1) & \text{en guía 1} \\ TE_{pq}^z, TM_{pq}^z (p \leq P_2, q \leq Q_2) & \text{en guía 2} \end{cases}$$

$$P_2/P_1 = a_2/a_1, Q_2/Q_1 = b_2/b_1, P_1/Q_1 = a_1/b_1$$

Análisis y Síntesis de Circuitos de Microondas

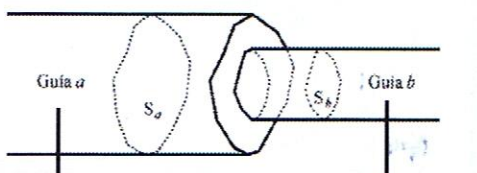
- Limitar los modos de la variación en x con la relación de tamaño en esa dirección
- Limitar los modos de la variación en y con la relación de tamaño en esa dirección

Limitar el orden de los modos en cada dirección según la variación de tamaño en dicha dirección

Formulación

- Casos Particulares de Convergencia (IV).-

- Unión entre Guías con diferente sección transversal



sección a con M modos

$k_t \leq k_c$

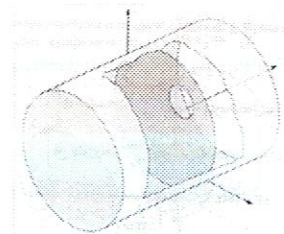
$$N/M \leq S_b/S_a \longrightarrow N/M = S_b/S_a \text{ (óptimo)}$$

Análisis y Síntesis de Circuitos de Microondas

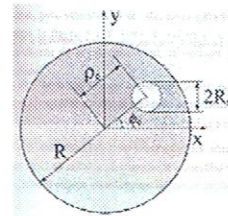
se determina un n.º de modos similar si se utiliza la relación entre áreas que si se toman modos por debajo de una frecuencia de corte

Formulación

- Casos Particulares de Convergencia (II).-



Iris Circular



Iris Centrado:

$$TE_{11}^z \Rightarrow \begin{cases} TE_{1p}^z, TM_{1p}^z(R) \\ TE_{1q}^z, TM_{1q}^z(R_i) \end{cases}$$

$$q/p \leq R_i/R$$

Iris Descentrado:

$$TE_{11}^z \Rightarrow TE_{pq}^z, TM_{pq}^z(R, R_i)$$

M modos (R), N modos (R_i)

$$N/M (\downarrow\downarrow) \text{ p.ej. } \propto (R_i^2/R^2)$$

Este es ya un caso complejo donde no se ha encontrado el óptimo, por lo que se recomienda $N/M \downarrow$ para estar por debajo del óptimo

Iris centrado

$$\frac{q}{p} \leq \frac{R_i}{R}$$

óptimo si "="

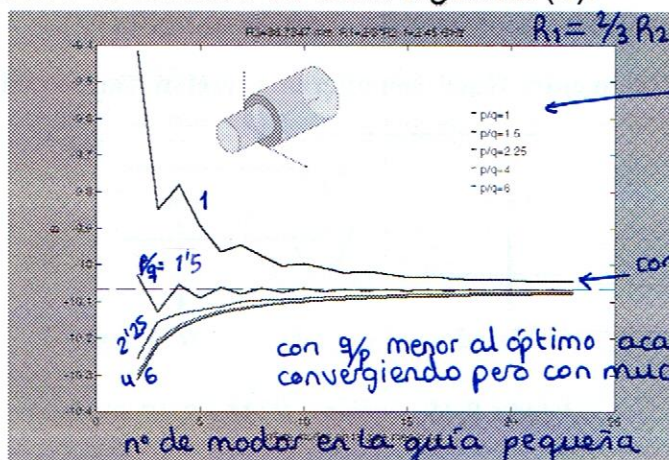
sólo consideramos variación radial

Iris descentrado:

No se sabe cuál es el óptimo límite para la convergencia, por lo que se recomienda q/p bajo y asumir una convergencia lenta pero segura

Formulación

- Casos Particulares de Convergencia (II).-



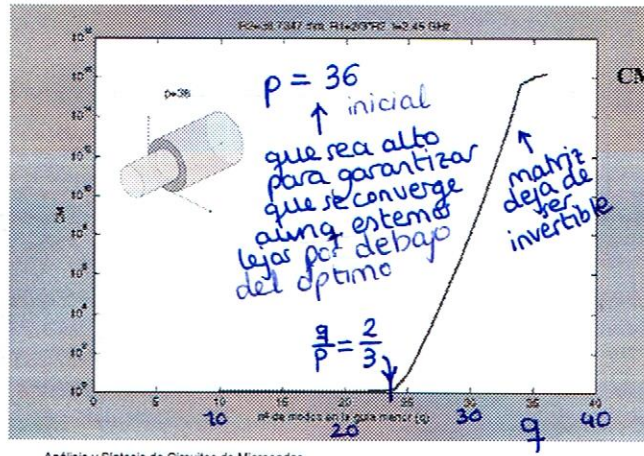
Análisis y Síntesis de Circuitos de Microondas

Algunas razones a la convergencia lenta
y malas estimaciones al optimo son:
- La función que se usa es incorrecta o no es lo suficiente buena para la convergencia.

Estudiamos el condicionamiento de la matriz que habrá que invertir para resolver el sistema que aparece

Formulación

- Convergencia. Técnica del Break-Knee Point.-



CM: Número de Condición de la matriz T

T : matriz a invertir al aplicar MM.

$$CM : \frac{\text{autovalor m\'ax. de } T}{\text{autovalor m\'in. de } T}$$

$$CM < 10$$

T es invertible

cogiendo
DEMASIADOS
modos en
la peque\'na



departamento
de
comunicaciones



UNIVERSIDAD
POLITECNICA
DE VALENCIA

El Método de la Adaptación Modal (The Mode-Matching Method II)

Análisis y Síntesis de
Circuitos de Microondas

Dr. Vicente E. Boria Esbert

Curso 2006/2007

Formulación

incógnitas son vectores truncados ($p \times 1$)

* Sistema de Ecuaciones Lineales.-

$$\begin{array}{l} \text{campos} \\ \text{e} \\ \text{y} \\ \xi = \end{array} \rightarrow \left\{ \begin{array}{l} (1) P^a(a^+ + a^-) = A(b^+ + b^-) \\ (2) B(a^+ + a^-) = P^b(b^+ + b^-) \\ (3) C^\#(a^+ - a^-) = B^\#(b^+ - b^-) \\ (4) A^\#(a^+ - a^-) = P^{b\#}(b^+ - b^-) \end{array} \right\} \Rightarrow \begin{bmatrix} a^- \\ b^+ \end{bmatrix} = \begin{bmatrix} S_{11} & S_{12} \\ S_{21} & S_{22} \end{bmatrix} \begin{bmatrix} a^+ \\ b^- \end{bmatrix}$$

sólo me interesan
2 relaciones entre
las incógnitas

... Para obtener $[S]$ se requieren 2 ecuaciones lineales:

- (1) cumple completamente la condición de campo eléctrico
- (4) no requiere calcular matrices nuevas (B y C)

Análisis y Síntesis de Circuitos de Microondas

Cogeremos una ecuación del campo eléctrico

(1) da intuitivamente más información que (2) puesto
que forzaba la continuidad en la guía grande
(incluyendo anularse en el metal)

7

Cogeremos una ecuación de entre las dos de campo magnético

En este caso ambas dan la misma info (ya que no hay
condición del campo magnético en el metal) pero conviene
coger la (4) porque ya hemos calculado las integrales A para (1)

Formulación

- Solución del Sistema de Ecuaciones.-

$$\left. \begin{array}{l} P^a(a^+ + a^-) = A(b^+ + b^-) \\ A^\#(a^+ - a^-) = P^{b\#}(b^+ - b^-) \end{array} \right\} \Rightarrow \begin{bmatrix} a^- \\ b^+ \end{bmatrix} = \begin{bmatrix} S_{11} & S_{12} \\ S_{21} & S_{22} \end{bmatrix} \begin{bmatrix} a^+ \\ b^- \end{bmatrix}$$

Como $N < M$ se escoge la **siguiente solución**:

$$S_{21} = 2(T)^{-1}A^\# \quad S_{22} = (T)^{-1}(P^{b\#} - A^\#(P^a)^{-1}A)$$

$$S_{11} = (P^a)^{-1}AS_{21} - I \quad S_{12} = (P^a)^{-1}A(S_{22} + I')$$

$$T = P^{b\#} + A^\#(P^a)^{-1}A \rightarrow \text{matriz } N \times N$$

I, I' : matrices identidad de orden M, N

Análisis y Síntesis de Circuitos de Microondas

En la guía grande siempre hemos cogido más modos q en la pequeña. Vamos a intentar que la matriz complicada de invertir (matriz T) sea pequeña

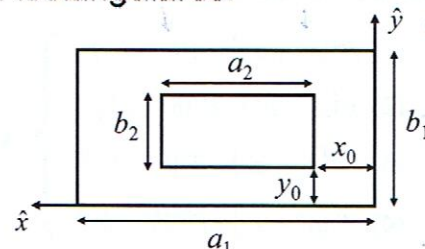
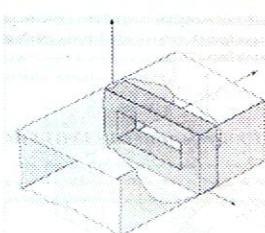
- despejar de (1) y sustituir en (4)
 $T = N \times N$

- despejar de (4) y sustituir en (1)
 $T = M \times M$

sería más difícil de invertir, y no seguiríamos ese camino

Ejemplos de Aplicación

- Salto entre 2 Guías Rectangulares.-



$$TE_{10}^z \Rightarrow \begin{cases} \text{modos } TE^z \text{ o } H^z : \vec{e}_n^H, \vec{h}_n^H \\ \text{modos } TM^z \text{ o } E^z : \vec{e}_n^E, \vec{h}_n^E \end{cases}$$

$$P_{mn} = \int_S (\vec{e}_n \times \vec{h}_m^*) \cdot \hat{z} ds = K_{mn} \delta_{mn} \rightarrow K_{mn} = \begin{cases} 1 & \text{propagación} \\ j & \text{modo } H \text{ al corte} \\ -j & \text{modo } E \text{ al corte} \end{cases}$$

Análisis y Síntesis de Circuitos de Microondas

qué familia de modos cogemos? todos, ya que hay variación en ambas direcciones

$\vec{e}, \vec{h} \equiv$ modos normalizados en potencia

ortogonalidad valor de la potencia del modo (normalizada!)

La matriz P será trivial

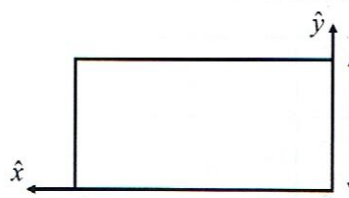
(1, j ó -j) en la diagonal

o en el resto

solo nos faltará para calcular la matriz A

Ejemplos de Aplicación

- Salto entre 2 Guías: Soluciones Modales.-



modos H_{pq}^z $\begin{cases} e_x^H = -N^H k_y f_1(x, y) \\ e_y^H = N^H k_x f_2(x, y) \end{cases}$
 $1 \leq p, q \leq P, Q$
 $p = q \neq 0$

modos E_{pq}^z $\begin{cases} e_x^E = N^E k_x f_1(x, y) \\ e_y^E = N^E k_y f_2(x, y) \end{cases}$
 $1 \leq p, q \leq P, Q$

 $N^{H,E} = \sqrt{(\epsilon_m \epsilon_n) / ab} \sqrt{Z_{H,E}} / k_c$
 $Z_H = (j\omega\mu) / \gamma_{pq}$ $Z_E = \gamma_{pq} / (j\omega\epsilon)$
 $k_c^2 = k_x^2 + k_y^2$ $\gamma = \sqrt{k_c^2 - \omega^2 \mu \epsilon}$
 $\epsilon_m \equiv 2 - \delta_{m0}$
 $\tilde{h}^{H,E} = Z_{TE}^{-1} (\hat{z} \times \vec{e}^{H,E})$
 $f_1(x, y) = \cos(k_x x) \sin(k_y y)$
 $f_2(x, y) = \sin(k_x x) \cos(k_y y)$
 $k_x = (p\pi/a)$ $k_y = (q\pi/b)$

Análisis y Síntesis de Circuitos de Microondas

Expresión analítica conocida de los modos electromagnéticos de una guía rectangular

Ejemplos de Aplicación

- Salto entre 2 Guías: Parámetros S.-

— Para obtener los parámetros S debe calcularse la matriz A :

$$A_{mn} = \int_{S_2} (\vec{e}_n^2 \times \vec{h}_m^{1,*}) \cdot \hat{z} ds$$

— Según el tipo (H o E) de los modos m y n considerados:

salen varios tipos de integrales:

$$A_{mn}^{HH} = \int_{S_2} (\vec{e}_n^{2,H} \times \vec{h}_m^{1,H*}) \cdot \hat{z} ds \quad A_{mn}^{EH} = \int_{S_2} (\vec{e}_n^{2,H} \times \vec{h}_m^{1,E*}) \cdot \hat{z} ds$$

$$A_{mn}^{HE} = \int_{S_2} (\vec{e}_n^{2,E} \times \vec{h}_m^{1,H*}) \cdot \hat{z} ds = 0 \quad A_{mn}^{EE} = \int_{S_2} (\vec{e}_n^{2,E} \times \vec{h}_m^{1,E*}) \cdot \hat{z} ds$$

→ modos TE¹ ⇌ modos TM²

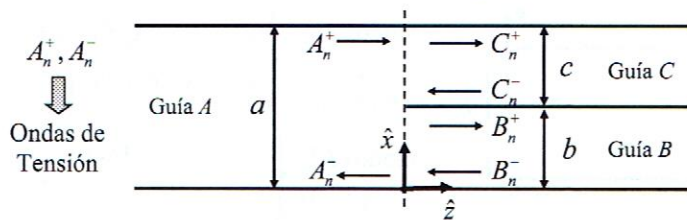
La matriz A es conveniente hacerse analíticamente (son senos y cosenos)

Análisis y Síntesis de Circuitos de Microondas

Un artículo demuestra que en cualquier geometría los modos TE de la guía grande no acoplan con los modos TM de la guía pequeña (integral es 0)

Ejemplos de Aplicación

- Bifurcación de Guía Rectangular en Plano H.-



Sólo se excitan modos TE_{n0}^z ($n=1,2,\dots$):

$$\text{Guía } A \Rightarrow \bar{E}_t^A = \hat{y} \sum_{n=1}^{\infty} (A_n^+ + A_n^-) \phi_n^A \bar{H}_t^A = -\hat{x} \sum_{n=1}^{\infty} Y_n^A (A_n^+ - A_n^-) \phi_n^A$$

$$\phi_n^A = \sqrt{2/a} \operatorname{sen}(n\pi x/a) \Rightarrow \int \phi_n^A \phi_m^A dx = \delta_{mn} \quad Y_n^A = \gamma_{n0}^A / (j\omega\mu)$$

Análisis y Síntesis de Circuitos de Microondas

cogemos la familia
TEn ya que no hay
variación en 'y'

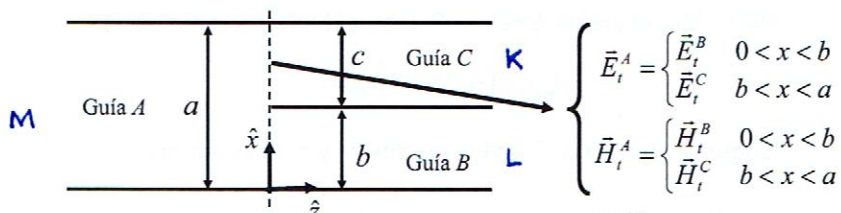
En este caso no están
normalizados en potencia
los modos, por eso incluimos ϕ

Ahora A_n^+ y A_n^- tienen carácter →
de tensión

por eso en la expresión de \bar{H} ,
en lugar de usar el modo,
se usa Y_n^A . ϕ_n^A es la forma del modo
admitancia (igual en E
y en H)

Ejemplos de Aplicación

- Bifurcación Pl. H : Condiciones de Continuidad.-



... Considerando M, K y L modos en las guías A, B y C :

$$\sum_{n=1}^M \left(\frac{1}{Y_n^A} \right) (A_n^+ \pm A_n^-) \phi_n^A = \begin{cases} \sum_{n=1}^K \left(\frac{1}{Y_n^B} \right) (B_n^+ \pm B_n^-) \phi_n^B & 0 < x < b \\ \sum_{n=1}^L \left(\frac{1}{Y_n^C} \right) (C_n^+ \pm C_n^-) \phi_n^C & b < x < a \end{cases}$$

Análisis y Síntesis de Circuitos de Microondas

haremos
 $L/M = b/a$
 $K/M = c/a$

campo eléctrico
y magnético
comparten
distribución
del modo ϕ_n ,
sólo difieren
en la admittance
por la cual se
multiplica ϕ_n en
el campo magnético

Ejemplos de Aplicación

Bifurcación Pl. H : Ecuaciones Matriciales.-

Utilizando ortogonalidad y expresando matricialmente:

$$(1) A^+ + A^- = H(B^+ + B^-) + \bar{H}(C^+ + C^-)$$

$$(2) A^+ - A^- = Z^A H Y^B (B^+ - B^-) + Z^A \bar{H} Y^C (C^+ - C^-)$$

$$(3) H'(A^+ + A^-) = B^+ + B^-$$

$$(4) \bar{H}'(A^+ + A^-) = C^+ + C^-$$

$$(5) Z^B H' Y^A (A^+ - A^-) = B^+ - B^- \quad (6) Z^C \bar{H}' Y^A (A^+ - A^-) = C^+ - C^-$$

$$A^+ = (A_1^+, A_2^+, \dots, A_M^+)^t \quad Z^i, Y^i (i = A, B, C) : \text{matrices diagonales con } Z_n^i, Y_n^i$$

$$H : \text{matriz } (M \times K) \text{ con elementos } H_{mn} \quad \bar{H} : \text{matriz } (M \times L) \text{ con elementos } \bar{H}_{mn}$$

$$H_{mn} = \int_0^l \phi_n^B \phi_m^A dx \quad \bar{H}_{mn} = \int_0^l \phi_n^C \phi_m^A dx$$

Análisis y Síntesis de Circuitos de Microondas

$\vec{E} \rightarrow (1), (3), (4)$
 $\vec{H} \rightarrow (2), (5), (6)$

lo bien que acoplan los modos

INTEGRALES DE ACOPLO
 Interesa un esfuerzo analítico para resolverlas analíticamente

Ejemplos de Aplicación

Bifurcación Pl. H : Expresión Compacta.-

Como $M = K+L$ (convergencia relativa) se puede escribir:

$$(1) A^+ + A^- = G(D^+ + D^-) \quad (2) A^+ - A^- = Z^A G Y^D (D^+ - D^-)$$

$$(3) G'(A^+ + A^-) = D^+ + D^- \quad (4) Z^D G' Y^A (A^+ - A^-) = D^+ - D^-$$

$$G_{M \times M} = [H \quad \bar{H}] \quad D_{M \times 1}^+ = [B^+ \quad C^+]^t \quad D_{M \times 1}^- = [B^- \quad C^-]^t$$

$$Y_{M \times M}^D = \begin{bmatrix} Y^B & 0 \\ 0 & Y^C \end{bmatrix} \quad Z_{M \times M}^D = \begin{bmatrix} Z^B & 0 \\ 0 & Z^C \end{bmatrix}$$

matrices diagonales

puedo agrupar los vectores incógnita de las guías pequeñas en un sólo vector (ya que $M = K+L$)

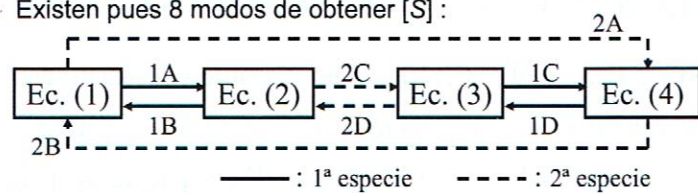
Análisis y Síntesis de Circuitos de Microondas

Ejemplos de Aplicación

- Bifurcación Pl. H : Solución del Sistema.-

$$\left. \begin{array}{l} (1) A^+ + A^- = G(D^+ + D^-) \\ (2) A^+ - A^- = Z^A G Y^D (D^+ - D^-) \\ (3) G^t (A^+ + A^-) = D^+ + D^- \\ (4) Z^D G^t Y^A (A^+ - A^-) = D^+ - D^- \end{array} \right\} \quad \begin{array}{l} \xrightarrow{\quad} \begin{bmatrix} A^- \\ D^+ \end{bmatrix} = \begin{bmatrix} S_{11} & S_{12} \\ S_{21} & S_{22} \end{bmatrix} \begin{bmatrix} A^+ \\ D^- \end{bmatrix} \\ \text{Si } M \rightarrow \infty \Rightarrow G^t = G^{-1} \\ \xrightarrow{\quad} (1) = (3); (2) = (4) \end{array}$$

... Existen pues 8 modos de obtener [S] :



Análisis y Síntesis de Circuitos de Microondas

Si cogiésemos infinitos modos, las dos ecuaciones de campo eléctrico se convierten en la misma, y las dos magnéticas también

Hay hasta 8 formas de resolver el problema, y unas dan resultados mejores que otras y con distintos costes computacionales.

Prestaciones

- Puntos Críticos del Método.-

- Inversiones de Matrices Grandes:

- Algoritmos eficientes y precisos (Valores de las matrices)

- Convergencia Relativa de la Solución:

- Elección correcta del nº de modos y su relación

de lo contrario la matriz a invertir está mal condicionada

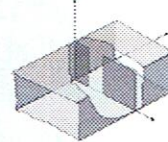
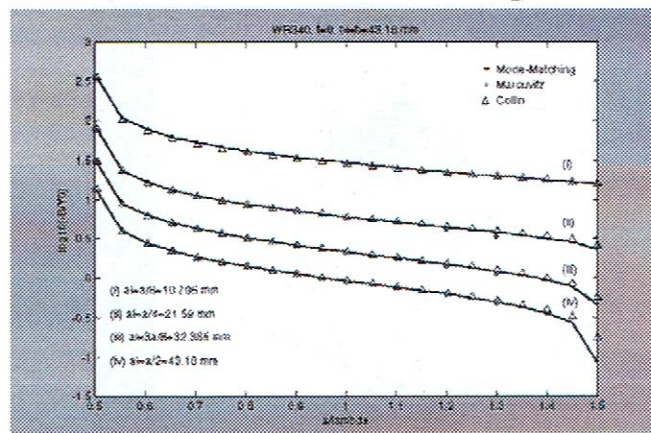
- Esfuerzo Analítico Previo para ↑↑ Eficiencia:

- Resolución analítica de las integrales de acoplamiento
 - Aproximación de funciones (series), transformación de coordenadas

Análisis y Síntesis de Circuitos de Microondas

Resultados

- Iris Inductivo en Guía Rectangular.-

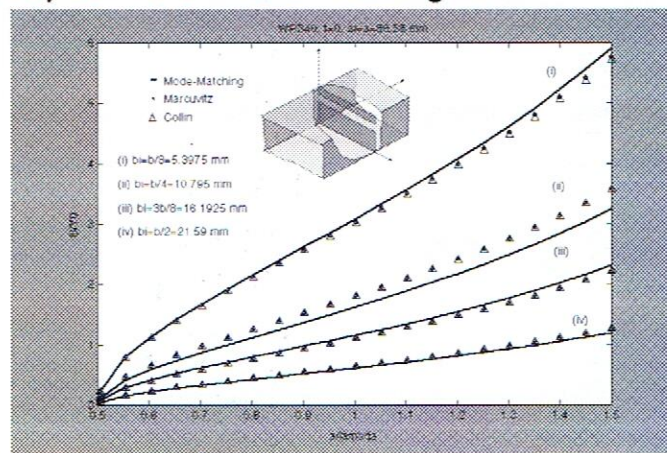


Resultados muy precisos en tiempos muy bajos

Análisis y Síntesis de Circuitos de Microondas

Resultados

- Iris Capacitivo en Guía Rectangular.-

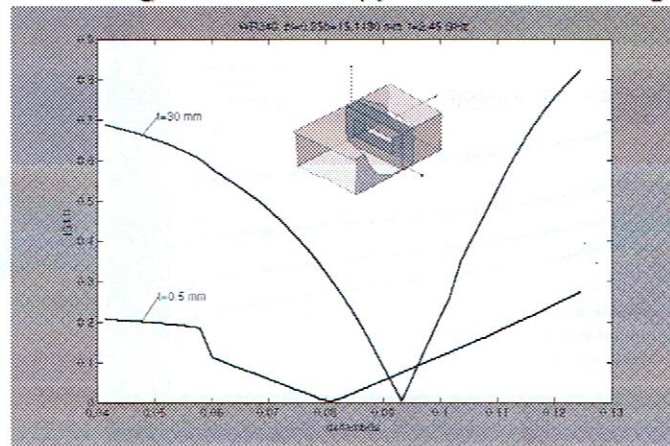


Análisis y Síntesis de Circuitos de Microondas

salto capacitive donde sólo se excitan modos TE_{1m} TM_{1m} (cuando se reincide con TE₀₁)

Resultados

- Iris Rectangular Grueso (t) en Guía Rectangular.-



Análisis y Síntesis de Circuitos de Microondas



departamento
de
comunicaciones



UNIVERSIDAD
POLITECNICA
DE VALENCIA

La Matriz de Admitancias Generalizada (The Generalized Admittance Matrix I)

Análisis y Síntesis de
Circuitos de Microondas

Dr. Vicente E. Boria Esbert

Curso 2006/2007

(MAG)

otra técnica
de adaptación
modal para
discontinuidades

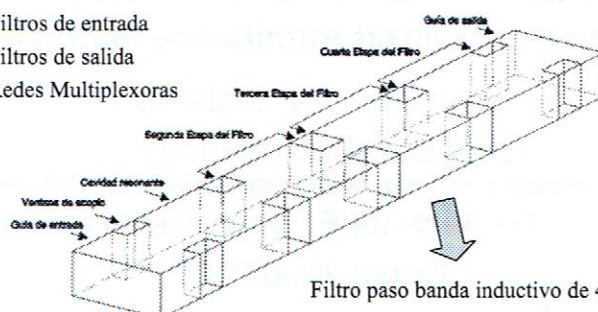
Contenidos

- Introducción
- Concepto de la MAG
 - ... Expresiones de los Elementos de la MAG
- Resolución del Sistema
- Ejemplos de Aplicación
 - ... Filtro Paso Banda Sintonizable con Tornillos
 - ... Filtros Paso Banda de Modo Dual
 - ... Filtros Corrugados de Banda Eliminada
- Conclusiones

Introducción

- Filtros Paso Banda de Cavidades Acopladas.-

- Filtros de entrada
- Filtros de salida
- Redes Multiplexoras



Filtro paso banda inductivo de 4 polos:

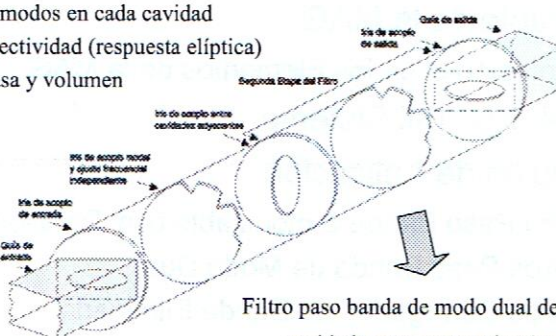
- cavidades rectangulares vacías
- ventanas de acople inductivas

Análisis y Síntesis de Circuitos de Microondas

Introducción

- Filtros Paso Banda Multimodales.-

- múltiples modos en cada cavidad
- mayor selectividad (respuesta elíptica)
- menor masa y volumen



Filtro paso banda de modo dual de 4 polos:

- cavidades resonantes circulares
- iris elípticos y guías reentrantes

Análisis y Síntesis de Circuitos de Microondas

Introducción

Métodos de Análisis de Dispositivos en Guía.-

Técnicas Modales (Analíticas).-

- Adaptación Modal (MM), Matrices de Inmitancias (GAM, GIM)
- Muy eficientes para dispositivos simples (geometrías regulares)

Métodos de Discretización (Numéricos).-

- Elementos Finitos (FE), Elementos de Contorno (BE), FDTD
- Estructuras más complejas, ↑ tiempos de CPU y ↑ memoria

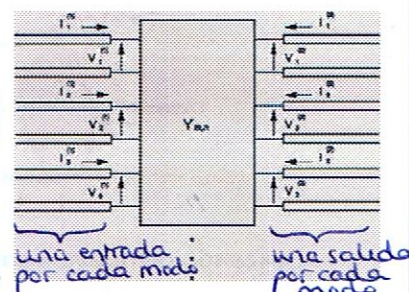
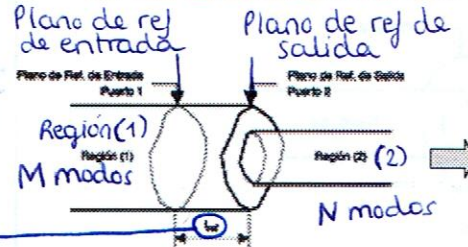
Métodos Híbridos.-

- MM/FE, Adaptación Modal + Elementos de Contorno (BCMM)
- Eficientes (métodos modales) y versátiles (métodos numéricos)

Análisis y Síntesis de Circuitos de Microondas

Concepto de la MAG

MAG: Extensión del concepto clásico de la MA



MA Generalizada: modos orden superior

$I^{(1)}, V^{(1)}$: vectores con M elementos

$I^{(2)}, V^{(2)}$: vectores con N elementos

$$\begin{bmatrix} I^{(1)} \\ I^{(2)} \end{bmatrix} = \begin{bmatrix} Y^{(1,1)} & Y^{(1,2)} \\ Y^{(2,1)} & Y^{(2,2)} \end{bmatrix} \begin{bmatrix} V^{(1)} \\ V^{(2)} \end{bmatrix}$$

Análisis y Síntesis de Circuitos de Microondas

Esta matriz no relaciona ondas en cada puerto, sino corrientes y tensiones para cada modo.

Concepto de la MAG

bloque de la matriz

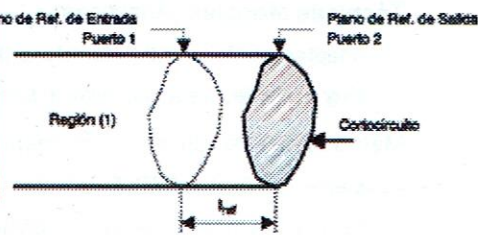
Definición de cada término de la matriz

anulando las tensiones de todos los modos menos el n en todos los puertos menos el γ

Expresiones de los Elementos de la MAG (I).-

$$Y_{m,n}^{(\delta,\gamma)} = \frac{I_m^{(\delta)}}{V_n^{(\gamma)}} \quad \text{Puerto } \gamma \text{ modo}$$

$$\forall V_i^{(\xi)} = 0, \text{ con } i \neq n, \xi \neq \gamma$$



Utilizando Teoría de Líneas de Transmisión:

$$Y_{m,n}^{(1,1)} = (-j) Y_{0n}^{(1)} \cot(\beta_n^{(1)} l_{ref}) \delta_{m,n}$$

$$Y_{m,n}^{(2,1)} = Y_{n,m}^{(1,2)} = j Y_{0n}^{(1)} \csc(\beta_n^{(1)} l_{ref}) \langle \vec{h}_n^{(1)} \vec{h}_m^{(2)} \rangle$$

Análisis y Síntesis de Circuitos de Microondas

en $Y_{mn}^{(2,1)}$
consideramos todas las tensiones en guía 2 igual a cero
(tensión cero → no hay campo → pared eléctrica)

Nos simplifica la vida:
red pasiva
lineal
sin juntas

↓
red
recíproca

$$Y = Y^T$$

$$(y^{(1,1)} \ y^{(2,1)})$$

$$(y^{(1,2)} \ y^{(2,2)})$$

$$y^{(1,2)} = (y^{(2,1)})^T$$

$$y^{(1,1)} = (y^{(1,1)})^T$$

$$y^{(2,2)} = (y^{(2,2)})^T$$

↓
esta última nos ahorra MUCHOS cálculos

↓
nos ahorra casi la mitad

tenemos que encontrar la corriente de cada modo en la guía pequeña

$$Y_{m,n}^{(2,1)} = \frac{I_m^{(2)}}{V_n^{(1)}} \quad \forall V_k^{(2)} = 0$$



Podemos calcular la corriente de cada modo proyectando el campo total sobre cada modo

$$\vec{H}_t(V_n^{(1)}) = j \cdot Y_{0n}^{(1)} \csc(\beta_n^{(1)} l_{ref}) \cdot \vec{h}_n^{(1)} V_n^{(1)}$$

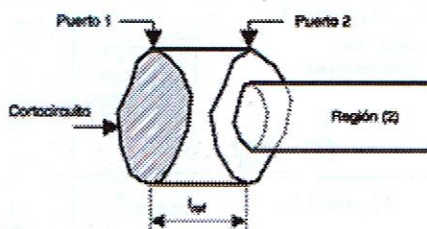
$$\langle \vec{H}_t \vec{h}_m^{(2)} \rangle = I_m^{(2)}$$

$$I_m^{(2)} = V_n^{(1)} j Y_{0n}^{(1)} \csc(\beta_n^{(1)} l_{ref}) \langle \vec{h}_n^{(1)} \vec{h}_m^{(2)} \rangle$$

integral

Concepto de la MAG

Expresiones de los Elementos de la MAG (II).-



Utilizando de nuevo Teoría de Líneas de Transmisión:

$$Y_{m,n}^{(2,2)} = (-j) \sum_{r=1}^{\infty} Y_{0r}^{(1)} \cot(\beta_r^{(1)} l_{ref}) \langle \vec{e}_r^{(1)} \vec{e}_n^{(2)} \rangle \langle \vec{h}_r^{(1)} \vec{h}_m^{(2)} \rangle$$

Mayores esfuerzos computacionales

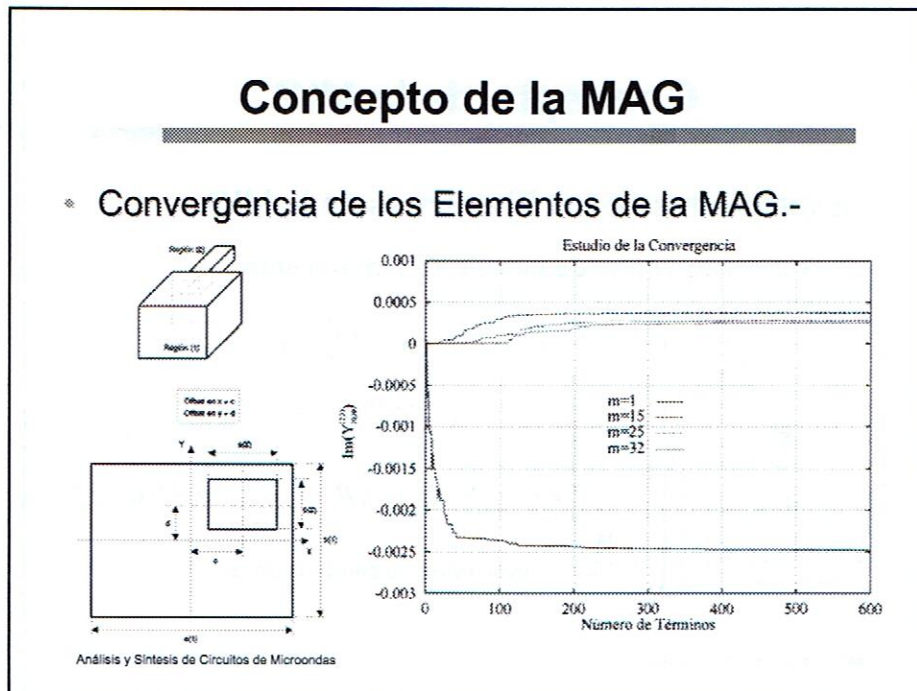
Análisis y Síntesis de Circuitos de Microondas

El bloque (2,2) no solamente es un bloque lleno, sino que para cada componente hay que hacer una serie infinita, que ya que converge no basta considerar un nº finito → puesto que no se igualan 2 series, no hay el problema de convergencia relativa de modos

todos (r) los modos eléctricos en guía 1 modo de campo eléctrico en guía 2

puesto que no se igualan 2 series, no hay el problema de convergencia relativa de modos

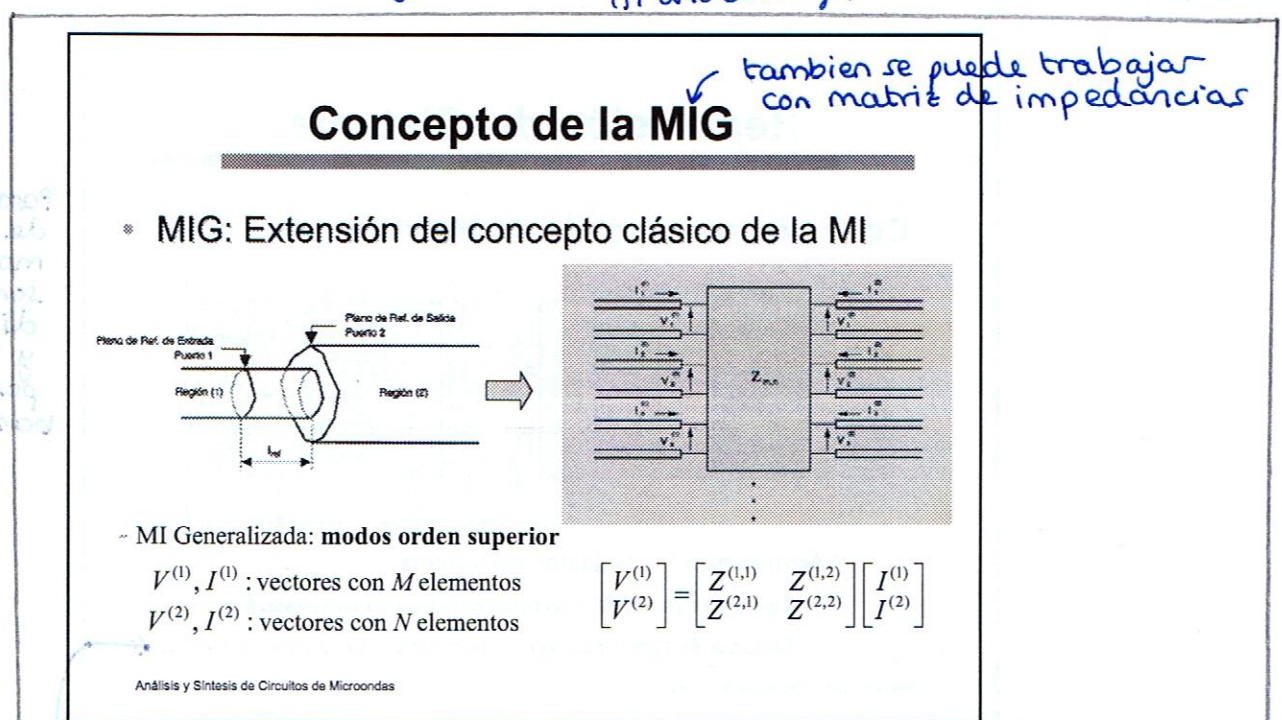
Ademas al ser pasiva, todos los elementos de Y son imaginarios puros
(ahorro de almacenamiento)



En este caso no influyen las relaciones geométricas

Directamente cuantos más términos mejor; hay que asegurar la convergencia

cojo uno de los elementos de la diagonal principal para observar convergencia → aplico el mismo para todos (si uno converge, el resto tambien)



~ MI Generalizada: modos orden superior

$V^{(1)}, I^{(1)}$: vectores con M elementos
 $V^{(2)}, I^{(2)}$: vectores con N elementos

$$\begin{bmatrix} V^{(1)} \\ V^{(2)} \end{bmatrix} = \begin{bmatrix} Z^{(1,1)} & Z^{(1,2)} \\ Z^{(2,1)} & Z^{(2,2)} \end{bmatrix} \begin{bmatrix} I^{(1)} \\ I^{(2)} \end{bmatrix}$$

Concepto de la MIG

- Expresiones de los Elementos de la MIG.-

 - Utilizando Teoría de Líneas de Transmisión:

$$Z_{m,n}^{(\delta,\gamma)} = \frac{V_m^{(\delta)}}{I_n^{(\gamma)}} \quad \left\{ \begin{array}{l} Z_{m,n}^{(1,1)} = (-j)Z_{0n}^{(1)} \cot(\beta_n^{(1)} l_{ref}) \delta_{m,n} \\ Z_{m,n}^{(2,1)} = Z_{n,m}^{(1,2)} = (-j)Z_{0n}^{(1)} \csc(\beta_n^{(1)} l_{ref}) \langle \vec{e}_n^{(1)} \vec{e}_m^{(2)} \rangle \\ Z_{m,n}^{(2,2)} = (-j) \sum_{r=1}^{\infty} Z_{0r}^{(1)} \cot(\beta_r^{(1)} l_{ref}) \langle \vec{h}_r^{(1)} \vec{h}_n^{(2)} \rangle \langle \vec{e}_r^{(1)} \vec{e}_m^{(2)} \rangle \end{array} \right.$$

↓

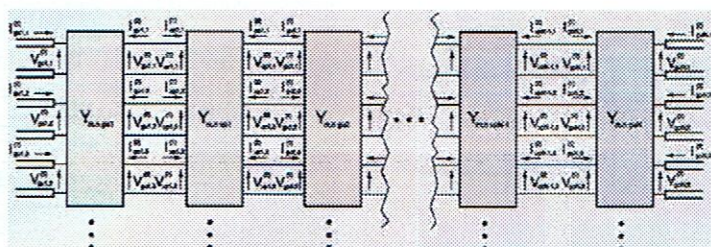
$\forall I_i^{(\xi)} = 0$
con $i \neq n, \xi \neq \gamma$

↳ Mayor esfuerzo computacional

Análisis y Síntesis de Circuitos de Microondas

Resolución del Sistema

- Conexión en cascada de N guías.-



 - Técnicas para la resolución del sistema:

 - Técnica de Reducción ('clásica' en el método *mode-matching*)
 - Eliminación Gaussiana con retrosubstitución (naturaleza en banda)

Análisis y Síntesis de Circuitos de Microondas

Para los tramos de guía, las matrices Y son 4 bloques diagonales, y además, por simetría basta calcular 2

i.e. construyendo la matriz global del sistema

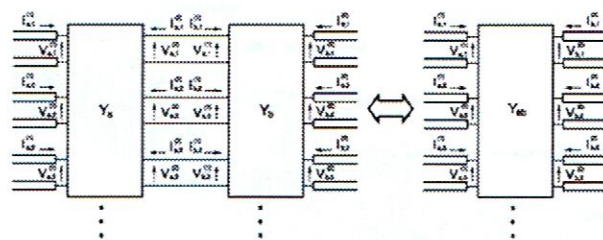
En lugar de ir resolviendo por partes y conectar en cascada, forzamos condiciones de continuidad para sacar directamente el sistema que lo resuelve todo: resulta sistema tridiagonal

Resolución del Sistema

Primera técnica:

ir agrupando por parejas

- Técnica de Reducción.-



$$Y_{ab}^{(1,1)} = Y_a^{(1,1)} - Y_a^{(1,2)} \cdot (Y_a^{(2,2)} + Y_b^{(1,1)})^{-1} \cdot Y_a^{(2,1)} \quad Y_{ab}^{(1,2)} = -Y_a^{(1,2)} \cdot (Y_a^{(2,2)} + Y_b^{(1,1)})^{-1} \cdot Y_b^{(1,2)}$$

$$Y_{ab}^{(2,1)} = -Y_b^{(2,1)} \cdot (Y_a^{(2,2)} + Y_b^{(1,1)})^{-1} \cdot Y_a^{(2,1)} \quad Y_{ab}^{(2,2)} = Y_b^{(2,2)} - Y_b^{(2,1)} \cdot (Y_a^{(2,2)} + Y_b^{(1,1)})^{-1} \cdot Y_b^{(1,2)}$$

Se repite el proceso hasta obtener una matriz Y_{eq} y se deduce finalmente la matriz de parámetros S

Análisis y Síntesis de Circuitos de Microondas

Resolución del Sistema

Segunda técnica

- Eliminación Gaussiana.-

— Forzando condiciones de continuidad y cargando la red:

$$\left. \begin{array}{l} I_{\text{gui}} = (Y_{\text{gui}}^{(1,1)} + Y_{0\text{gi}}) \cdot Z_{\text{gui}}^{(1)} + Y_{\text{gui}}^{(1,2)} \cdot Z_{\text{gui}}^{(2)} \\ O_{\text{gui}} = Y_{\text{gui}}^{(2,1)} \cdot Z_{\text{gui}}^{(1)} + (Y_{\text{gui}}^{(2,2)} + Y_{\text{upi}}^{(1,1)}) \cdot Z_{\text{gui}}^{(2)} + Y_{\text{upi}}^{(1,2)} \cdot Z_{\text{gui}}^{(1)} \\ \vdots \\ O_{\text{gui}+1} = Y_{\text{upi}}^{(2,1)} \cdot Z_{\text{gui}}^{(2)} + (Y_{\text{upi}}^{(2,2)} + Y_{\text{gu}i+1}) \cdot Z_{\text{gui}+1}^{(1)} + Y_{\text{gu}i+1}^{(1,2)} \cdot Z_{\text{gui}+1}^{(2)} \\ \vdots \\ O_{\text{guN}} = Y_{\text{guN}}^{(2,1)} \cdot Z_{\text{guN}}^{(1)} + (Y_{\text{guN}}^{(2,2)} + Y_{0\text{guN}}) \cdot Z_{\text{guN}}^{(2)} \end{array} \right\} \begin{array}{l} \text{Sistema Lineal} \\ \text{en Banda} \\ 3 \text{ diagonales} \end{array}$$

➡ Eliminación Gaussiana con Retrosustitución

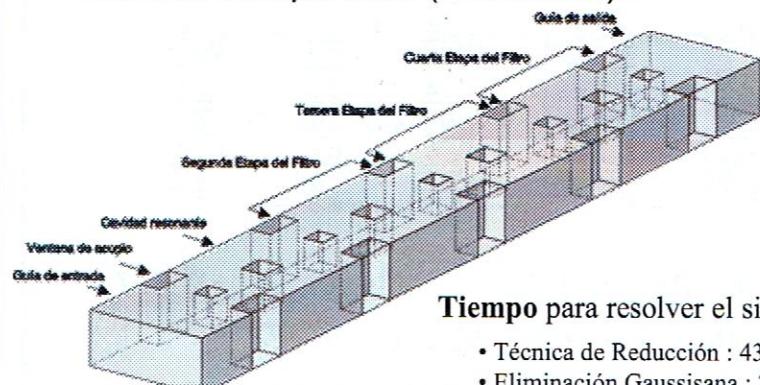
(reducción a una matriz triangular superior o inferior)

Análisis y Síntesis de Circuitos de Microondas

hay técnicas especiales para resolver la inversa de esta matriz

Resolución del Sistema

• Estudio Comparativo (Eficiencia).-



Tiempo para resolver el sistema:

- Técnica de Reducción : 43,5 seg.
- Eliminación Gaussiana : 23,8 seg.

Resultados por punto en frecuencia (IBM Risc-6000)

Análisis y Síntesis de Circuitos de Microondas

En la ESA se
hicieron
análisis
de filtro
con este
método